

تركيب الأقمشة الغير منسوجه
 استخدام خاصية التفازية الضوئية في تقدير تركيب أنواع مختلفة من الأقمشة
 الغير منسوجه .

STRUCTURE OF NONWOVEN FABRICS
 UTILIZATION OF PHOTOMETRIC METHODS IN STUDYING THE STRUCTURE
 OF DIFFERENT TYPES OF NONWOVENS

By

Dr. A. El-Hedidy
 Textile Eng. Dept.
 Mansoura University, Faculty of Engineering.

Dr. M. El-Zalabany
 Elec. Com. Eng. Dept.

ABSTRACT:

The structure of nonwoven fabrics could be assessed by making use of a photometric method. The anisotropy of tested fabrics has been studied in terms of optical density (D); percentage transmission (% T); and percentage absorption (% A), we have constructed an experimental set-up that is versatile to test and assess several fabric parameters of practical importance, as uniformity and isotropicity.

It was found that for tested fabrics the packing density coefficient (ϕ) and percentage transmission (% T) are well correlated. The percentage transmission decreases with the increase of mass per unit area (G), and the ranking correlation coefficient $R = -1$, and highly significant at the 5% level, while the percentage absorption (% A) tends to be high for high values of mass per unit area (G) and (R) reaches to unity.

Also it has been found that, photometric measurements could be used instead of mechanical measurements in studying the structure of tested fabrics, both gave results that are strongly correlated to each other. Also it was found that the coefficient of variation (CV% - cut and weight method) and coefficient of variation (CV% - percentage transmission), has very high correlation ($R = 0.96$). The results stress the appropriateness of the suggested method for nondestructive assessment of nonwoven structure. Moreover this method is directly applicable in production lines. The novel method is easy and saves much time and effort.

الخلاصة :

في بحوث سابقة (٢-١) أمكن اقتراح نماذج تصف تركيب الأقمشة الغير منسوجه بيكانيكا (الباد الابر)، وفي هذا البحث أقترحت طريقة جديدة تعتمد على نظرية الامار الضوئي والتي تعد اسرع وغير مكلفة للوقت أو الجهد، وغير مبنية للعينات، وصالحة لاختبار أنواع وأصناف مختلفة من الأقمشة الغير منسوجه (ميكانيكية - كيميائية - حرارية - غيرها) وذلك في حدود من ٨٠ إلى ٥٨٠ جم/م^٢.

تم تحديد حجم عينه الاختبار التي تعطي خطأ ± ٢٪ عند حدود ثقة ٩٥٪ لكل نوع على حده من الأقمشة المختارة، وصم جهاز لقياس تفازية الضوء خلال عينات الاختبار، ومن خلال التجارب المعملية أمكن التوصل الى :-

أ) ارتباط دليل تركيب القماش الغير منسوج (Φ) مع دليل نفاذية الضوء (٢٪) بقوة ارتباط عاليه .

ب) ارتباط كل من معامل الاختلاف في وزن المتر المربع بطريقه اقطع ثم زن والتي تعد مقاييسا للانظاميه مع نظيره في نفاذيه الضوء وكانت قوة الارتباط $R = 0.96$ مما يؤكد صلاحية الطريقه المقترنه لتقسيم ظاهره الانظاميه دون اتلاف للعينات - كما ثبت اتفاق ذلك مع نتائج سابقه (٨) .

ج) ارتباط وزن المتر المربع (C) بكل من نسبة النفاذيه (٢٪) ونسبة الامتصاص(A%) بقوة ارتباط تام ($1 \pm R$) مع الاولى عكسيا ومع الثانية طرديا .

د) ثبت ان قيم نسبة النفاذيه (٢٪) دالة في الاتجاه، شأنها شأن بقية الططرق الميكانيكيه المعروفة والمستخدمه لتقدير خاصية الانزوتوريبيا .

(٤) مقدمة :

تعد الأقمشة الغير منسوجة (Nonwoven Fabrics) من أحدث الطرق الغير تقليديه لانتاج الأقمشة، ويعتبر عام ١٩٤٢ البدايه الصناعيه لانتاج هذه النوعيه الجديد من المنتجات النسيجيه وفيها يتم تحويل الشعيرات النسيجيه مباشرة الى أقمشة مسطحة دون المرور بعمليات غزل الخيوط أو تحضيرات النسيج أو النسيج التقليدي وعليه فان الخواص الطبيعيه والميكانيكيه لهذه المنتجات الجديدة تتأثر مباشرة بخواص موئلاتها وكذا بتوزيع هذه المكونات وهذا ما اتفق على تسميتها بتركيب الأقمشة الغير منسوجة Structure Macro-Structure of Nonwovens و Micro-Structure .

وخواص الأقمشة الغير منسوجة تعتمد قبل كل شيء على خواص المادة الخام التي تتكون منها، وكذا على خواص الماده اللاصقه، وعلى توزيع كل من الشعيرات والمسارود اللاصقه في القماش النهائي، وعلى شكل نقط ربط الشعيرات معاً، وهناك دراسات متعدده للربط بين خواص الشعيرات النسيجيه، وطرق الربط الكيماويه وخواص الأقمشة نفسها وبالطبع فان هذه الدراسات تمت تحت ظروف معينه وكذلك لطرق انتاج محدده وكتب عن ذلك كثيرون (٣، ٤، ٥) وهذا معناه انه لان لا توجد طريقه موضوعيه يمكن ان تخدم تعريف تركيب الأقمشة الغير منسوجة بدون علاقات وسيطه (٦) .

ولا شك ان دراسه تركيب الأقمشة الغير منسوجه بالرغم من أهميته لكلا من المنتجين والمستهلكين لها يعد عمله معقد جداً ويلزمها طرق - أكثرها غير مباشرة - لتقدير هذا التركيب منها الطرق الميكانيكيه (٦، ٥) والتي تعد معلم و معقد وطويله ومتعبسه ومهمكه للقماش نفسه بالإضافة الى أنها مستنجه من العديد من الافتراضات والتجازرات الرياضيه، ومنها الطرق الضوئيه (٨، ٩، ١٠) التي تعتبر اسرع وغير مكلفه للوقت أو الجهد وغير متله للعينات بل ولاتمسها، وشكل (١) يمثل العلاقات المداخله لكلا من الشعيرات النسيجيه وطرق التصنيع وتأثير ذلك على تركيب القماش الناتج .

بينما شكل (٢) يوضح رسمًا تخطيطيًّا لنظرية الامارات الضوئي وكيفيه استخدامها في تقدير تركيب القماش الفيبر منسوج والتي تعتمد على أساس أنه عند مرور حزمه ضوئيَّه خلال مقطع محدد لعينته من القماش الغير منسوج فإن النسبة بين شدة الضوء الخارج من العينة إلى شدة الضوء الساقط عليها تتناسب عكسياً مع وزن المتر المربع من القماش المختبر.

٢- الجزء النظري :

ان امتصاص موجات الضوء بواسطه خامة ما يعتمد على العديد من العوامل منها نوع الخامه، طريقة التصنيع، وطرق تجهيز هذه الخامه، ويعتبر قانون Beer (١٢) من أكثر طرق القياس استخداماً ويعبر عنه بالعلاقة:

$$I = I_0 e^{-Gnd} \quad \dots \dots \dots (1)$$

حيث I_0 = شدة الضوء للمنبع الأصلى قبل المرور على القماش (mA)

I = شدة الضوء بعد المرور خلال القماش (mA)

n = تركيز المادة (القماش) المعرضه للضوء (m⁻³)

d = سماكة المادة (القماش) المعرضه للضوء (m)

G = معامل يمكن استخدامه لوصف نوع القماش كما يعبر عن مساحة مقطع العينة (m²) والذى يعبر عنه مشتقاً من المعادله (١) هكذا:

$$G = \frac{-1}{nd} \ln \left(\frac{I}{I_0} \right) \dots \dots \dots (2)$$

كما يمكن استخدام العلاقات التالية:-

الكتافه الضوئيه:

$$D = \log \frac{I_0}{I} \dots \dots \dots (3)$$

ونسبة النفاذيه:

$$\%T = \left(\frac{I}{I_0} \right) 100 \dots \dots \dots (4)$$

ونسبة الامتصاص:

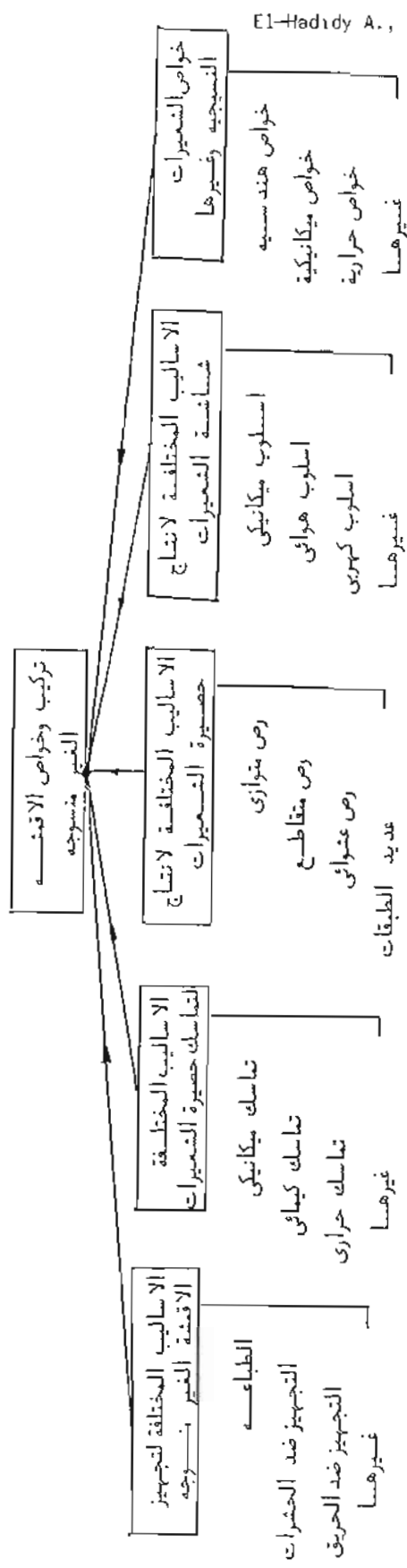
$$\%A = \left(1 - \frac{I}{I_0} \right) 100 \dots \dots \dots (5)$$

ويمكن استخدام العلاقات السابقة في وصف تركيب القماش الفيبر منسوج عند الاخذ فى الاعتبار التوصيات التالية:-

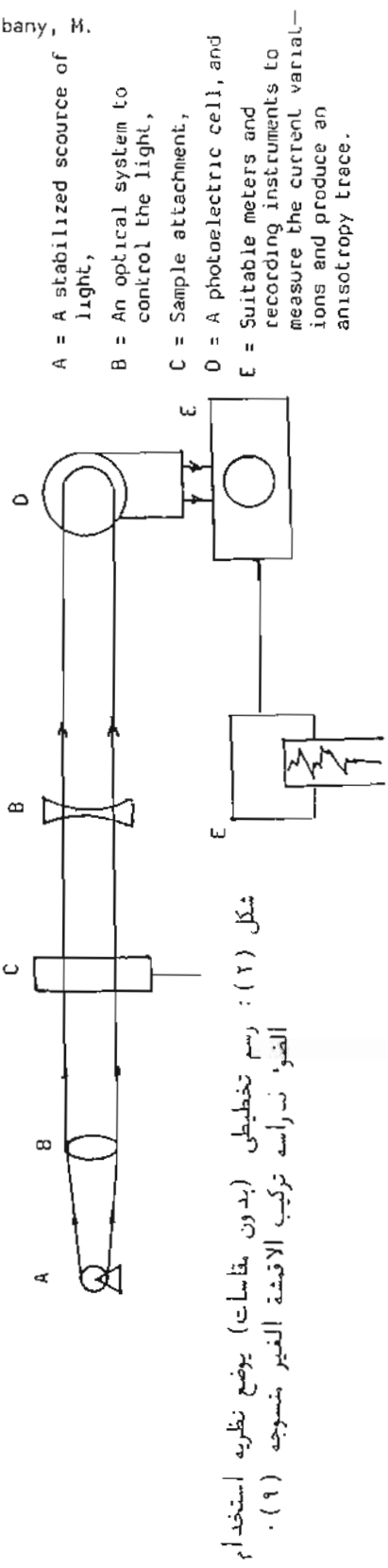
١- اعتماد مقطع الامتصاص (G) على تردد موجات الضوء والذى يمكن التغاضى عنه فى حالة ثبوت عدم وجود اختلاف امتصاص الاليف النسيجيه المكونه للقماش على التردد وفى نطاق ترددات الضوء ولهذا السبب تم استخدام منبع ضوء أبيض.

٢- لعينات القماش المختبره تم اعتبار المعامل (G) دليلاً لكل نوع من هذه العينات يصف تركيبها وكذلك طريقة معالجتها النهائية.

٣- اعتبر الرمز (٦) دليلاً على كثافة مادة العينة ومدى تماستها (Density and Compactness)



شكل (١) : يوضح الملفات المتداخلة لخواص الشعيرات النسيجية و عمليات التصنيع والتجهيز وتأثيرها على خواص وتركيب الاقنعة للغیر منسوجه .



٣- الجزء العملي :

قبل اجراء أي اختبار يجب ان نعلم ونحدد مقدما ما يلى :-

- أ) عدد القراءات (Sample size)
- ب) طريقة سحب العينات (Sampling)
- ج) طريقة القياس المناسبة (Test Method).

٣-١. تحديد عدد القراءات اللازم لاختبارات النفاذه الضوئيه :

لتحديد عدد القراءات التي تكفي للوصول الى نتيجة يعتمد عليها فلابد من تحديد درجة الثقه المطلوب من النتائج وكذا نسبة الخطأ المسموح به في التجربه، مثلا كم قراءه نفاذه ضوئيه يمكنها ان تعطي متوسطا صحيحا في حدود $\pm 2\%$ ولا تتغير قيمته في $\pm 95\%$ من المرات أو المحاولات التالية، لذلك تم اختيار المواصفات القياسية التشيكية CSN 800301 لتحديد هذا العدد - كما سيأتي شرحه تفصيلا في بند ٤-١ وذلك عند الشروط التالية:

- أ) تم تثبيت شدة ضوء المضاعف (I₀) والتي تتأثر بشدة تيار الخنيه الضوئي بحيث تساوى دائما ٥٧٠ مللي أمبير مع تثبيت بعد المصدر الضوئي عن عينه الاختبار عند ٤٠ سم، وبذلك حصلنا على بقعة ضوئيه مساحتها ١ سم^٢ على سطح القماش.
- ب) تم اختبار وقياس شدة الضوء النافذ من عينه القماش الفير منسوج في اتجاهات مختلفة صفر[°]، ٤٥[°]، ٩٠[°] على الترتيب مقاسه من اتجاه الماكينه وعلى طول ثابت في العينه مقداره ٣٥ سم.
- ج) قيم شده التيار (I) المقاسه تم ايجاد متوسطها الحسابي (\bar{x}) وانحرافها المعياري (S)، وكذا معامل الاختلاف (S_x%).

٣-٢. طريقة سحب العينات اللازم لاختبارات النفاذه الضوئيه :

طريقة سحب العينات خضعت للمفهوم السائد عند اختبارات الاقمشه الفير منسوجه والمشروع تفصيليا في مرجع (١٠)، ثم تم تتبع الخواص التالية للعينات المسحوبة:

- أ) كله المتر الطولي Linear Density (g/m)

$$m_L = \frac{m \times 10^3}{L} \quad (\text{kg/m}) \quad \dots \dots \dots \quad (6)$$

ونها حسب Tex القماش المختبر هكذا :

$$Tex = 10^{-6} m_L \quad (\text{tex}) \quad \dots \dots \dots \quad (7)$$

- ب) كله المتر المربع Surface Density (g/m²)

$$G = \frac{m \times 10^6}{L \times W} \quad (\text{g/m}^2) \quad \dots \dots \dots \quad (8)$$

في العلاقات السابقة تم الاشاره الى طول العينه بالرمز (L) وللمعرض (W) ويعبر عنهم بوحدات (mm).

عند تقدير كتلة المتر المربع تم سحب عدد (١٠) عينات مساحتها 10×10 سم وتم ايجاد كل من $\bar{x} = 5$ و $s = 5\%$ لها وتم استخدام النظام القياسي التشكيلي (١٣) للحكم على انتظامية القماش المستخدم والتي فيه:

قيم 5% حتى 5% تشير الى كون القماش المختبر منتظم جداً وقيم 5% فوق 5% حتى 10% تشير الى ان القماش المختبر منتظم وقيم 5% فوق 10% حتى 15% تشير الى ان القماش المختبر مقبول الانتظامي وقيم 5% فوق 15% حتى 20% تشير الى ان القماش المختبر سيء الانتظامي.

ولاختبار مدى صلاحية الطريقة المقترنة لدراسة تركيب القماش الغير منسوج تم اختيار واختبار عدد كبير من الاصناف التي ينتج بعضها محليا وبعضها يتم تصنيعه في الخارج وقد شمل هذا الاتواع والاصناف التالية:

- (١) أقمشة غير منسوجة ميكانيكيا (الباد الابز ذو أوزان مختلفة ومن خامات مختلفة)
- (٢) أقمشة غير منسوجة ومبتهة كيميائيا (أقمشة الحشو ذو أوزان مختلفة ومن خامات مختلفة)
- (٣) أقمشة غير منسوجة ومبتهة ميكانيكيا وكيميائيا معاً (صنف واحد - $146 \text{ جم}/\text{م}^2$)
- (٤) أقمشة غير منسوجة ومبتهة حرارياً (صنف واحد - $580 \text{ جم}/\text{م}^2$)
- (٥) أقمشة غير منسوجة ومبتهة ميكانيكيا بأسلوب Arachna (صنف واحد - $200 \text{ جم}/\text{م}^2$)
- (٦) أقمشة غير منسوجة بأسلوب Spun-Bonded (صنف واحد - $400 \text{ جم}/\text{م}^2$)

والاصناف والاتواع السابقة استخدم في تصنيعها الخامات النسيجية التالية:

- (١) بوليستر ٤٤ د. تكس بطول ٩٠ مم.
- (٢) فسكوز (قصير) + 10% مطاط طبيعي للتثبيت
- (٣) شعيرات معد تفيحها تضم القطن والصوف والفسكرز بأطوال مختلفة
- (٤) شعيرات الياف تركيسه (بولي أميد وبولي إيثيلين).

تم أيضا حساب دلائل تركيب الأقمشة الغير منسوجة التالية:

أ) معامل التعبئه

$$\Phi = \frac{\text{Fabric Density}}{\text{Fibre Density}} = \frac{\rho_f}{\rho_f} \quad \dots \dots \dots \quad (9)$$

ومنه تم حساب نفاذية الهواء

$$P = (1 - \Phi) 100 \quad \dots \dots \dots \quad (10)$$

٣-٣-٣ طريقة القياس:

١-٣-٣ تحقيق النظام العملي للقياس الضوئي :

Experimental set-up of optical Measuring system

يعتمد النظام العملي للقياس على استخدام مصدر ضوئي يتم تجميع أشعته لتمر خلال ساحة محددة من سطح العينة. ثم تسقط الأشعه النافذة من العينة على سطح كاشف الضوئي الذي يقوم بتحويل الطاقة الضوئية الساقطة عليه الى تيار كهربى تتناسب

شدته مع شدة الضوء المسبب له . يقاس هذا التيار بواسطة مللي أمبير أو ميكرو أمبير وشكل (٢) يوضح مكونات النظام العملي لقياس الضوئي وهذه المكونات هي :
أولاً : المصدر الضوئي :

استخدمنا في هذا البحث مصدر ضوئي عادي عبارة عن مصباح ذات الفنتيلة من النوع المستخدم في الكشافات الضوئية في السيارات . وقد فضلنا استخدام هذا المصدر الضوئي على استخدام أجهزة الليزر المتاحة لدينا للأسباب الآتية :

١- ضآلة قدرة أجهزة الليزر المتاحة لدينا وهي من نوع هليوم - نيون والتي تقل قدرتها عن واحد مللي وات من الضوء الأحمر وحيد اللون طوله الموجي ($A^0 = 6328$) في الوقت الذي تعطينا لمبة الكشافات ذات التيار المستمر والجهد المنخفض عشريرات أو مئات الواطات من القدرة الثابتة على المدى الترددي المرئي ، وكذلك على جزء من مدى ترددات الأشعة تحت الحمراء بتوزيع طيفي مستمر .

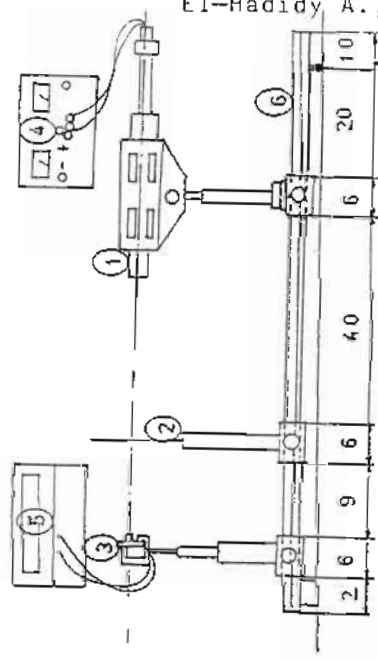
٢- قمنا بقياس طيف الامتصاص للمعينات المستخدمة في هذا البحث وثبت لنا عدم وجود نطاقات امتصاص مميز أو خطية شكل (٤) والتي تدل في حالة وجودها على خاصية الامتصاص الانتقائي (Frequency selective absorption) . وقد ترتب على استبعاد الامتصاص الانتقائي للترددات خلال الحيز المرئي للأشعة الضوئية في المعينات الى اعطاء الفرصة لامكانية استخدام مصادر ضوئية نمطية (حرارية) ذات توزيع ترددي مستمر (Coherent light) وببرر ذلك عدم الالتزام باستخدام مصادر الضوء المتضام ذات التردد الواحد والتراكيز العالية .

٣- يتميز شعاع معظم أجهزة الليزر بتوزيع شدة الإضاءة على مساحة مقطع الشعاع ذي النمط الغالب في الأحداثيات الأسطوانية ($E(0,0,m)$) طبقاً لتوزيع جاوس الذي لا يتحقق تساوي التوزيع على مساحة مقطع الشعاع بل يجعله يتناقص أسيّا كلما بعدها عن مركز الشعاع . طبقاً للمعادلة ($P_0 = P_0 e^{-ax^2}$) حيث (P_0) هي كثافة القدرة عن مركز الشعاع . وحيث أنها حددنا مساحة مقطع الشعاع عند العينة في حدود ١ سم^٢ فقد وجدنا أن الشعاع الصادر من المصدر العادي المستخدم أكثر تجانساً من شعاع الليزر ذي النمط الغالب وذلك في حدود المساحة المذكورة من سطح العينة .

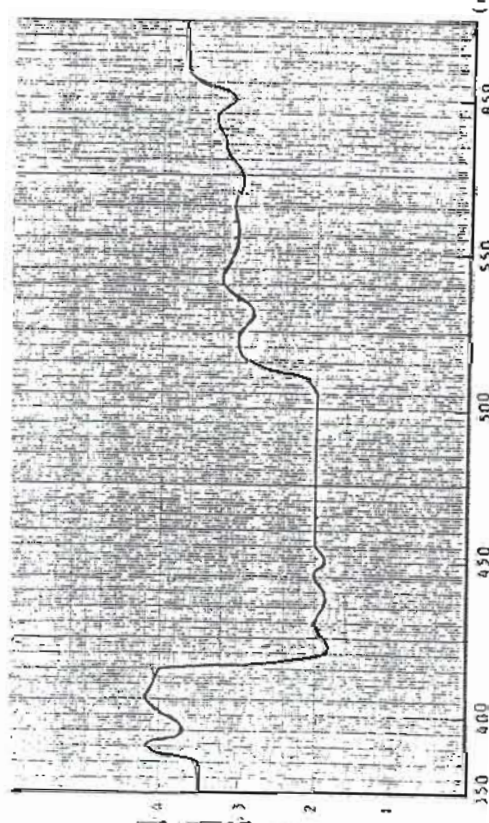
ولهذه الأسباب الثلاثة المذكورة فضلنا استخدام مصدر ضوئي عادي (حراري) رغم انفراد أجهزة الليزر بهذا الاستخدام فيما وصل الينا من أبحاث منشورة في هذا الشأن (١٤، ١٥، ١٦) . وسوف نقوم بدراسة مقارنة للنتائج باستخدام الطريقتين في بحث آخر .

ثانياً : الكاشف الضوئي : Photodetector

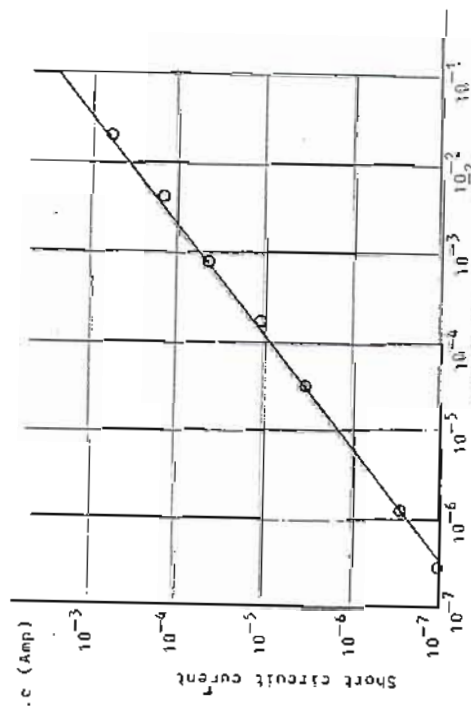
استخدمنا في هذا البحث كاشف ضوئي من نوع الخلايا الضوئية طراز VISOLUX الماني رقم II APY 12 المتوفّر لدينا وقمنا بقياس ورسم منحنى خصائص الاستجابة لهذا الكاشف على المدى المستخدم من شدة الضوء بعد مروره خلال العينة والتي تتغير على مدى خمسة



- شكل (١) : جسم التجربة لتجربة التفاضل الضوئي (٢) للتفاضل الضوئي (٣) (٤) (٥) (٦)
- ١) Light Source 6V, 5A,
 - ٢) Non-crystalline Sample, holder,
 - ٣) Photovoltaic Cell,
 - ٤) KENWOOD - PR630, DC Power Supply,
 - ٥) Digital Multimeter 1302,
 - ٦) Mechanical Micro-metric Control.



شكل (١) : شكل خاص (أحادية الكثافة) (٢) للتفاضل الضوئي (٣) (٤) (٥) (٦) (٧)



شكل (٢) : منحنى استقلالية التفاضل الضوئي (٣) (٤) (٥) (٦) (٧)

عقود كاملة ($W/cm^2 = 10^{-6} - 10^{-1}$) وأثبتنا العلاقة الخطية بين شدة الضوء الساقط على سطح الكاشف والناتج في الدائرة الكهربائية على مدى ٦ عقود كاملة من شدة الضوء مما سهل عملية القياس أثناء البحث.

ثالثاً : قياس ومعايير خصائص الاستجابة المحولة (Transfer characteristic) للكاشف الضوئي :

تمت عملية القياس باستخدام الأجهزة والمكونات التالية :

- أ) نفس المصدر الضوئي المستخدم خلال البحث.
- ب) جهاز ليزر غازى هليوم نيون بطول موجى $A^0 = 6328$ وقدره ضوئية $0.6 mW$ لمعاييرة شدة ضوء المصدر الضوئي المستخدم.
- ج) مرشح ضوئي محايد ذو نفاذية 20% neutral filter
- د) الكاشف الضوئي المراد قياس خصائصه.
- هـ) جهاز مللى أميتر وميكر أميتر.

وقد تمت خطوات قياس خصائص الاستجابة المحولة للكاشف على النحو التالي :

- ١) ضبط وتنبيت جميع مكونات نظام القياس (بدون عينات) على المسطرة الضوئية مثلثة المقطع ذات العوامل المنزلقة والتي تسمح بالحركة المحكمة في الاتجاهين الأفق والرأس كما هو واضح في شكل (٢)، بحيث تحصل على أعلى تركيز للأشعة على سطح الكاشف ونسجل القراءة المطلى أميتر ولتكن (١).
- ٢) نضع المرشح الضوئي مكان العينة بحيث يكون سطحه عمودياً على اتجاه مسار الضوء ونسجل القراءة التيار ولتكن (١_١) وهي تنتظر شدة ضوء من المنبع تمثل 20% من شدة الضوء قبل وضع المرشح.
- ٣) نرفع المرشح من مسار الضوء ونحرك المصدر الضوئي على المسطرة الضوئية بعيداً عن الكاشف بالتدريج حتى يعطي نفس القراءة السابقة (١_١) لتيار الكاشف.
- ٤) نضع المرشح الضوئي مرة أخرى ونسجل القراءة شدة التيار ولتكن (١_٢) وهي تنتظر شدة ضوء تساوى 20% من تلك المناظرة للقراءة السابقة (١_١).
- ٥) نكرر الخطوات (٢، ٤) وبذلك نحصل على قراءات كافية على مدى ٦ عقود كاملة لشدة الضوء في خطوات تقل فيها شدة الضوء بنسبة 20% في كل قراءة عن السابقة. ويبين شكل (٥) العلاقة التي تمثل خصائص الاستجابة المحولة للكاشف الضوئي المستخدم على مدى ٦ عقود.

رابعاً : ماسك العينة :

استخدمنا في هذا البحث ماسك مماثل للحامل الذي يستعمل في تنبيت المرشحات الضوئية وتم تنبيتها على عريبة قابلة للحركة الدقيقة (بواسطة ميكرومتر) في الاتجاه العمودي على مسار الضوء وذلك لسهولة التحكم في موضع سقوط الأشعة على العينة وتغيير هذا الموضع بطريقة دقيقة ومستمرة لدراسة ظاهرة التجانس الموضعي Homogeneity وكذلك ظاهرة التمايل الاتجاهي Isotropicity لمجموعة العينات في هذا البحث.

٤- النتائج والمناقشة :

٤-١- نتائج حساب عدد القراءات :

تركى عينات القماش المختبره لمدة ٢٤ ساعه فى جو المعامل (20°C, 65% R.H.) ثم تم قياس شدة الضوء المار خلال عينه الاختبار فى اتجاه الماكينة وفي الاتجاه العمودى عليه وأخذ مبدئياً عدد ٢١ قراءة شدة ضوء (I) وكانت النتائج كالتالى:

$$\bar{x}_{I(11)} = 0.729 \text{ A}, S = 0.045 \text{ A}, cv = 6.2\%$$

ثم اعيد نفس العمل فى اتجاه عمودى على اتجاه الماكينة وكانت النتائج هي :

$$\bar{x}_{I(1)} = 0.590 \text{ A}, S = 0.030 \text{ A}, cv = 4.3\%$$

تم استخدام المواصفات القياسية التشيكية CSN 800301 هكذا:-

الحد الأعلى للقراءات تعطى بالمعادلة:

$$A = \bar{x}_I + \frac{S}{\sqrt{n}} = 0.934 \text{ A} \quad \dots \dots \dots \quad (12)$$

الحد الأدنى للقراءات يعطى بالمعادلة:

$$B = \bar{x}_I - \frac{S}{\sqrt{n}} = 0.524 \text{ A} \quad \dots \dots \dots \quad (13)$$

وعليه يصبح معامل الدقة النسبي (a) يعطى من المعادلة:

$$a = \frac{(A - B)/2}{\bar{x}} \times 100 = 28.1\% \quad \dots \dots \dots \quad (14)$$

ولما كانت قيم (a) المحسوبة من المعادلة (14) أكبر من $\pm 2\%$ المتفق عليها في بند ٣-٢ السابق فان عدد القراءات المختار (٢١) يعتبر غير كافٍ ولذا تستخدم خرائط عدد القراءات - الخطأ النسبي الموجود بالمواصفات القياسية CSN 800301 في تحديد عدد القراءات الجديد الذى يعطى خطأ نسبياً $\pm 0.2\%$

وقد وجد ان عدد القراءات المطلوب هو ٤٠ قراءة وعليه تم تكرار التجربة واضافة عدد ١٩ قراءة جديدة.

ثم نكرر نفس العمل ولكن على القراءات التي اخذت فى اتجاه متعمد على اتجاه الماكينة ثم استخدمت الخرائط ايضاً وتم تحديد عدد القراءات بـ ١٨ قراءة.

اختلاف عدد القراءات هنا قد يرجع الى اختلاف توزيع الشعيرات فى الاتجاهات المختلفة والذى يعد سمة من سمات الاقمشة الغير منسوجة.

جدول (١) يعطى نتائج دراسة مماثله تمت على الاقمشة الغير منسوجة التالية:

Geotextile (PES, 540 g/m²); Interlining (from textile wastes, 120 g/m²); Interlining (PES, 80 g/m²); Spun-bonded (PET - 500 g/m²); Chemically - Mechanically bonded fabric (v_s - 146 g/m²); Arachna (v_s - 200 g/m²).

Table (1)

Type of Nonwoven fabrics	Sample Size	
	m/c, direction	1 m/c, direction
1- Geotextile	40	18
2- Interling (Waste)	180	100
3- Interling (Virgin)	500	500
4- Spun-bonded	140	250
5- Chemical-Mechanical bonded	300	500
6- Arachne	500	500

ان الاختلاف في عدد القراءات يرجع الى عوامل كثيرة منها:

اختلاف الخواص الطبيعية للشعيرات النسيجية المستخدمة في انتاج الاصناف المختبرة (بوليستر - قطن - صوف - فسکوز - بولي ايثلين - فسکوز + مطاط) كذا فان الاختلاف في وزن المتر المربع ٥٤٠ ، ٤٤٠ ، ١٢٠ ، ١٤٦ ، ٥٤٠ جم/م٢ يوضح اختلاف قيم شدة التيار المقاسة، كما ان اختلاف طرق انتاج القماش الغير منسوج (الباد الابر - كيميائي - الغزل مباشرة من فنية الغزل - التثبيت بكل من الطرق الكيماوية والميكانيكية معاً - التثبيت بطريقة الاخنة - على الترتيب) وعليه فانه ينصح ان تستخدم طريقة تحديد حجم عينة الاختبار عند أجزاء كل اختبار على حده.

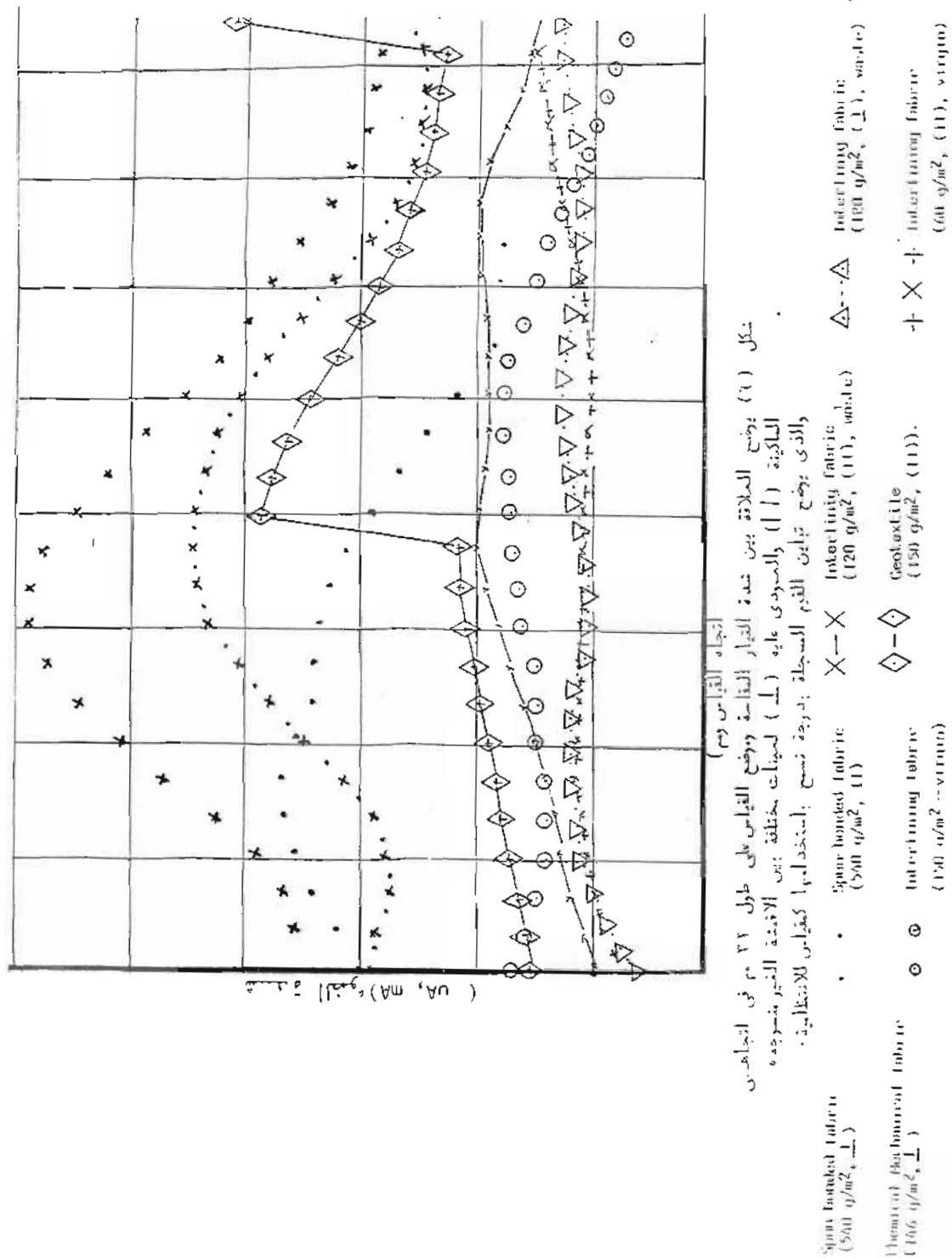
وشكل ٦ يوضح تباين قيم شدة التيار المقاسة على طول ٣٢ م من القماش الغير منسوج من المواد (قطن - صوف - فسکوز - ١٢٠ جم/م٢).

وقد يرجع اختلاف قيم (I) المقاسة مع طول العينة (حتى ٣٢ م) الى ان عينة القماش عبارة عن خليط من ثلاثة خامات مختلفة في خواصها الهندسية (الطول - مساحة المقطع - النعومة - مورفولوجية سطح كل منها) الامر الذي يتربط عليه اختلاف قيم التيار المتصض بواسطه هذه الشعيرات بالرغم من الحرص في اختيار الوان هذه الشعيرات بحيث تكون لونا واحدا تقريباً، وبظهور تأثير هذه الاختلافات ايضاً عند تحديد حجم عينة الاختبار التي تعطى خطأ نسبياً ± ٢٪ بحدود ثقته ٩٥٪ كما هو واضح في جدول ١ اذ وصل عدد التجارب المطلوب لاجراها ١٠٠ - ١٨٠ تجربة في اتجاهي الماكينة والعمودي عليه على الترتيب.

وقد يرجع ارتفاع عدد التجارب (٥٠٠ تجربة) في بعض العينات الاخرى مثل الحشو (Interling-virgin) الى استخدام اسلوب الغمر في المواد اللاصقة (Impregnation) الذي ينطوي طبقة الشعيرات بفلم غير متساوي السمك وموزع عشوائياً على مساحة القماش ويسمى هذا التركيب (Segment structure).

ويمكن تفسير زيادة عدد التجارب لنوعي:

(Arachne, Spun-bonded; Polymer-to-web System - Polyethylene)



١٤٠ - ٢٥٠ - ٥٠٠ تجربة في اتجاهى الماكينة والعمودى عليه على الترتيب الى الاختلافات المنتظرة والمشاهدة في سلك الشعيرات مع ٦-٣٠٠ وكذا في طريقة ترسيبها على خصيرة النسج والى اختلاف الشكل الهندسى لتوزيع الشعيرات على سطح القماش نفسه اسفل المعاازل، أما في حالة قماش (الارخنا) فيتأثر بشده بانتظامية خيوط التثبيت وما يليها من Thick and Thin Places والتي تمثل من ٣ - ٢٥٪ من الوزن الكلى للقماش، كما ان طول غرز التثبيت يتراوح ما بين ١ - ٩٥ مم وكتافة الخيوط وصلت الى ٢٥ خط/سم.

وعلى العكس من ذلك نجد أنه كلما قل عدد المتغيرات السابقة قل عدد القراءات التي تعطي نسبة خطأ $\pm ٢٪$ وعند حدود ثقة ٩٥٪ حيث سجل قماش البداد الميكانيكى من شعيرات بوليستر ٤٤ د.تكس - ٩٠ مم ١٨٠ مم كتجربة فقط في اتجاهى القياس.

٤-٢-٤. نتائج استخدام نسبة النفاذية الضوئية كدليل على انتظامية القماش الغير منسوج :
تعد طريقة (Cut and Weight) مقياساً للانتظامية بالاقمشة الغير منسوجة كما سبق شرحه في بند ٤-٣، واضح أن هذه الطريقة مبنية على العينات المختبرة كما أنها تحتاج إلى وقت وجهد لإنجازها.

ولاختبار مدى صلاحية طريقة النفاذية الضوئية في تقدير انتظامية القماش الغير منسوج تم اختيار بدار الأبر (بوليستر ٤٤ د.تكس - ٩٠ مم - كثافة تغزير ٤٠ أبره/سم - عمق تغزير ١٥ مم) من ثلاثة أوزان مختلفة هي ٨٠ مم/م^٢ ١٦٠ مم/م^٢ ٢٨٠ مم/م^٢ على الترتيب وسجلت قيم شدة التيار (I) كما سبق شرحه في بند ٣-٣ ثم ايجاد متوسطها الحسابي ومعامل الاختلاف ودونت النتائج في جدول (٢).

جدول (٢)

نوع القماش	اتجاه القياسات	قيم معامل الاختلاف		معامل أسبيرمان للارتباط
		طريقه ضوئيه	طريقه ميكانيكيه	
بدار أبسر وزن المتر المربع ٨٠ جرام	٠°	7.8	5.6	$R = 1$
	٤٥°	29.9	4.3	
بدار أبسر وزن المتر المربع ١٦٠ جرام	٩٠°	10.1	0.9	$R = 1$
	٠°	6.9	7.1	
بدار أبسر وزن المتر المربع ٢٨٠ جرام	٤٥°	55.4	5.8	$R = 1$
	٩٠°	28.4	7.2	
بدار أبسر وزن المتر المربع ٢٨٠ جرام	٠°	5.7	4.4	$R = 1$
	٤٥°	14.3	1.2	
	٩٠°	20.2	6.2	

من الجدول السابق يتضح اختلاف قيم معاملات الاختلاف في الاتجاهات المختلفة مما يوصي بأنها دالة في الاتجاه شأنها شأن الثد واستطالة الشد وبقيه الخواص الميكانيكية للأقمشة الغير منسوجة وعليه يمكن التوصيه باستخدام طريقة النفاذية الضوئية بدليلا عن الطرق الميكانيكية المهمكة للعينات المختبره .

ويوضح الجدول ان معامل الارتباط بين القيم المقاسة (اسبيرمان) أعطى ارتباط تام ووجب بمعنى انه يمكن لأى من الطريقتان ان تحل محل الاخرى ولايتأثر ذلك بوزن المتر المربع أو باتجاه القياس، ولما كانت الطريقة الميكانيكية تعد مقياسا لانتظاميه فان الثانية يمكن ان تعطي نفس النتيجة، وهذا يتفق مع نتائج بحوث سابقه في هذا المجال (٨) .

٤-٣. نتائج دراسة العلاقة بين القياسات الضوئية والقياسات الميكانيكية :

جدول ٢ يوضح كل من القياسات الضوئية (نسبة الامتصاص، نسبة النفاذية، الكثافة الضوئية، دليل التعرف على القماش الغير منسوج على الترتيب)، والقياسات الميكانيكية (وزن المتر المربع، معامل التصبعه، نسبة المسامية، كثافة القماش)، وذلك لعدد أربعة عشر صنفا م分成ة الى ثلاثة أنواع هي : الحشوات (٦٠ - ١٤٦ جم/م٢)، الجيوتكستيل (١٥٠ - ٨٢٠ جم/م٢) وأصناف أخرى (٢٠٠ - ٥٨٠ جم/م٢)، ثم تم حساب معامل الارتباط اسبيرمان للقيم المتشابه مثل وزن المتر المربع ونسبة الامتصاص، نسبة المسامية ونسبة النفاذية، كثافة القماش، والكافه الضوئي .

ثبت ان الارتباط بين كل من وزن المتر المربع ونسبة الامتصاص عاليه جدا والارتباط طردی تام لعدد عشره أصناف، أما الاصناف الأخرى فقد سجل معامل اسبيرمان للارتباط قيم منخفضه ($R = 0.5$) وقد يرجع ذلك لاختلاف الانواع مثل الغزل المباشر، اللصق الحراري، التماسك باستخدام غرز التشابك، البداد الميكانيكي ومعلوم ان لكل نوع منها تكتولوجيا مستقله ومختلفه تماما عن الأخرى ولذا لاينصح باستخدام المقارنه الا بين الاصناف المختلفه في النوع الواحد وينصح ايضا ذكر ذلك عند ذكر أي نتائج او التعليق عليها .

ثبت ايضا ارتفاع قيم معامل الارتباط بين كل من المسامية ونسبة النفاذية حيث سجلت ($R = 0.8$) للأقمشة الغير منسوجة (البداد الابر) والمستخدمه كخشوات لصناعة الملابس.

وعلى الجانب الآخر نجد ان قيمة معامل الارتباط انخفضت بشده ($R = 0.5$) عند اختبار العلاقة بين مساميه الهواء والنفاذية الضوئية لأقمشة الجيوتكستيل وقد يرجع السبب في ذلك الى وجود مواد لاصقه في الاصناف ذات الاوزان ٤٠٠، ٤٤٠، ٥٤٠، ٦٢٢٠، ٨٢٠ جم/م٢ بغرض زيادة تمسكها حيث أن التغريز (٤٠٠ ابره/سم٢) من الجهيتين لا يصل إلى قلب القماش بالرغم من زيادة عمق التغريز (١٥ مم)، هذا بالطبع أدى إلى سد المسام المواريه في هذه النوعيه من الأقمشة ولم يظهر ذلك في معادلة المسامية (راجع المعادله رقم ١٠) بند ٢-٣ ولكن ظهر بوضوح عند القياس الضوئي حيث سجلت قيم نسبة النفاذية أرقام ١٠٠١، ١٠٣، ١٠٠٣ على الترتيب وعليه فان لاينصح باستخدام

جدول (٣) : يوضح العلاقة بين القياسات المنشورة والقياسات الميكانيكية وقيم الارتباط بينهم لمعذنات مختلفة من الأقمشة الغير منسوجة.

Type of Nonwovens	Mechanical Measurements			Photometric Measurements			Correlations		
	C (g/m ²)	$\Phi_F = \rho_F / \rho_f$	$P = (1 - \Phi_F) \cdot 100$	$\rho_F = (\rho/d) \cdot (100 - 1) / I_0$	$\%A = ((I_0 - 1) / I_0) \cdot 100$	$D = \log \frac{I_0}{I}$	$G = \frac{R}{\log \frac{I_0}{I}}$	(G, A)	$((1 - \Phi_F), I)$
(Virgin fibers)									
60	0.021	0.979	28.4	86.6	13.4	0.87	0.034		
80	0.028	0.972	38.1	92.9	7.1	1.15	0.033	1	0.8
120	0.057	0.943	80.0	99.5	0.5	2.28	0.044	"	0.8
14.6	0.033	0.967	63.5	99.6	0.4	2.39	0.038	"	
(Interlinings)									
150	0.042	0.958	57.7	99.8	0.2	2.67	0.041		
250	0.038	0.962	52.3	99.8	0.2	2.77	0.026	1	0.5
400	0.038	0.962	52.6	99.9	0.2	3.19	0.018	"	
540	0.084	0.916	114.8	99.9	0.1	3.25	0.014	"	
770	0.072	0.927	99.7	99.9	0.03	3.52	0.011	"	
870	0.081	0.919	111.1	99.9	0.01	3.95	0.010		
(Needled felts)									
NW(1)	400	0.124	0.896	137.9	99.9	0.1	2.456	0.018	
NW(2)	580	0.134	0.866	156.8	99.9	0.03	3.594	0.014	"
NW(3)	200	0.080	0.920	111.1	99.3	0.7	2.370	0.031	"
NW(4)	540	0.084	0.916	114.9	99.9	0.04	3.247	0.014	"

NW(1) = Spun-bonded nonwoven, NW(2) = Thermally bonded nonwoven, NW(3) = Arachna, NW(4) = Needled punched.

معادله النفاذية أو المسامية الهوائية السابقة في حالة اللصق الكيماوى المصاحب للتغريز الميكانيكي .

ومن الجدير بالذكر هنا ان قيمة معامل الارتباط طبقاً لسبيرمان وصلت الى قيمة كبيرى ($R = 0.8$) بين المسامية ونسبة النفاذية بالرغم من تعدد الانواع المختبرة (قمash لصق حراري - قماش ارختا - قماش لنبار ابیری - غزل مباشر) وقد يرجع ذلك الى بقاء المسام كما هي بدون سد لمدم استخدام أي مواد لاصقة، وهذا التأثير بالطبع لا يظهر تأثيره في قيم الارتباط بين وزن المتر المربع والامتصاص مثلاً أو بين كثافة القماش والكثافة الضوئية حيث تشير النتائج في الجدول السابق الى انه يتم الارتباط بين كل من كثافة القماش والكثافة الضوئية وكانت قويه جداً ($R = 0.8, R = 0.9$) لكل من أقمشة الحشوؤات وأقشه الجيوتكستيل، أما الدليل ٥ للاقشه الغير منسوجه المختبرة فقد أعطى قيمها مختلفه ٤٠٤ و ٢٠٢ للاقشه الحشوؤات والجيوتكستيل مما يشير الى امكانية استخدامه كدليل للتميز بين الاقشه الغير منسوجه .

ومن النتائج السابقة يمكن الاشاره الى ان معامل تركيب القماش الغير منسوج يمثل ($\Phi\%$) عليها كثير من التحفظات (٦٠٦) خصوصاً مع الاقشه المكونه من شعيرات مختلفة الانواع والاخرى المثبتة كيماويه بالإضافة الى الحاجة الى تقدير وزن المتر المربع وكذا سك القماش ثم تقدير كثافة الشعيرات المستخدمة لحساب قيم (Φ) اي تحتاج الى أكثر من اختبارين لتقدير هذا التركيب، أما في حالتنا هذه فاننا لاحتحاج الى أي اختبار سوى القياسات الضوئيه والتي يمكن اجراؤها في خط الانتاج مباشرة كما سيأتي شرحه في البحث التالي، وبالتالي يعتبر هذا الاختبار أسهل وغير مكلف للوقت أو الجهد كما أنه غير متلف لعينات الاختبار .

٥ـ الخلاصة

من استنتاج المعملية السابقة يمكن الاقرار بصلاحية الطريقة الضوئية المقترنة في تتبع خواص الاقشه الغير منسوجه وتركيبتها وانتظاميتها بطريقة أكثر دقة من الطرق الميكانيكية الشائع استخدامها .

LITERATURE

- (1) Krčma, R.: Otevřené problémy výzkumu netkaných tex. VŠST Liberec, 1968.
- (2) Petterson, D.L.: On the mechanics of nonwoven fabrics, Institute of Technology U.S.A., 1958.
- (3) Hearle, J.W.S., Stevenson, P.J.: Nonwoven fabric studies, Part III, The anisotropy of nonwoven, Tex. Res. Jou. 1963, 11, p. 877-888.
- (4) Hill, D.D.; Michie, R.I.C.: Nonwoven fabrics studies, Part IX, Characterization of binder distribution, Tex. Res. Jour., 36, 1966, 9, p. 787 - 794.

- (5) Ptáček, A.: Tvorba a struktura izotropického rouva, 7th MNT, 1968, Brno, and Struktura rouva, Thesis VŠST, Liberec, 1969.
- (6) El-Hadidy, A., et al.: Structure of Nonwovens, Part I and Part II, CCT, Romania, 1991.
- (7) El-Hadidy, A., et al.: Structure of nonwovens, Part III, IV, V and VI, MĘJ, Faculty of Eng., Mansoura, 1987, 1988, 1989, 1991.
- (8) Uno, M. et al.: Jour. Tex. Mech. Soc. Japan, 3 and 9, 1963.
- (9) Booth, J.E.: Principles of Textile Testing, Heywood, London, 1970.
- (10) Koblyakov, A.: Laboratory Practice in the Study of Textile Materials, Translated from Russian, Mir P., 1989.
- (11) Pierce, F.T.: J. Tex. Inst., Vol. XXI, 1930, T. 377.
- (12) Babko, A.; Pilipenko, A.: Photometric Analysis, General Principles and Working Tools, Mir Publishers, Moscow 1971 (Eng. Ed.).
- (13) Krčma, R.; Drágerová, E., and Šodomka, L.: Teorie Netkaných Textilií, Navody na cvičení, VŠST, Liberec, 1986.
- (14) Krčma, R.; Šodomka, L.; Krebsová, J.: Výzkumná zpráva NOTEV, VŠST, Liberec, 1976.
- (15) Krčma, R.; Šodomka, L.; Zástěra, S.; Chrpová, E.: Teorie Struktury Netkaných Textilií Na Bázi Rouva, Část 3, VŠST, Liberec, 1978.
- (16) Šodomka, L.: Studium Textury Pavučiny, Rouva a Netkaných Textilií, Textil, Roč. 38, p. 129 – 132, 1981.